



## Оптоэлектронное Устройство Для Бесконтактного Контроля Температуры Нагретых Объектов

**Анваржон Рахмоналиевич Боймирзаев**

Ассистент кафедры “Метрология, стандартизация и менеджмента качества продукции”,  
Ферганский политехнический институт, Республика Узбекистан, г. Фергана  
E-mail: [mamasadikov52@bk.ru](mailto:mamasadikov52@bk.ru)

**Умида Юсупжановна Мамасодикова**

Ассистент кафедры “Электроника и приборостроение”, Ферганский политехнический институт,  
Республика Узбекистан, г. Фергана

---

*Received 18<sup>th</sup> May 2022, Accepted 14<sup>th</sup> Jun 2022, Online 6<sup>th</sup> Jul 2022*

---

**Аннотация:** В статье рассматриваются принципы построения оптоэлектронного устройства для бесконтактного контроля температуры нагретых объектов. Приведено блок-схема предложенного устройства и временные диаграммы, объясняющие принцип действия оптоэлектронного устройства для бесконтактного контроля температуры нагретых объектов.

**Ключевые слова:** оптоэлектроника, температура, бесконтактный контроль, объект контроля, поток излучения, приёмник излучения, излучающий диод.

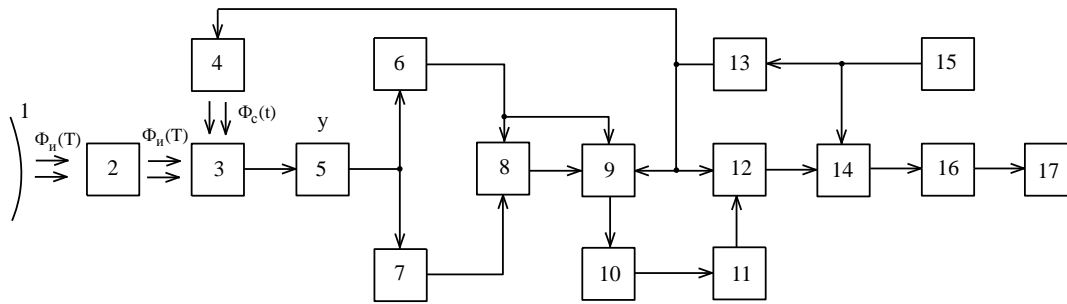
---

**Введение.** Измерение температуры является наиболее важным источником информации о физических явлениях, которые происходят и об трансформациях состояния материи. Как термодинамическая функция состояния вещества, температура тщательно изучается в метрологических терминах. Поэтому вместо прямого измерения различных характеристик объекта в зависимости от его состояния и прямого интереса технологу намного легче измерить температуру [1-7].

Наиболее перспективным в этом смысле является оптоэлектронный метод контроля температуры, причем во многих случаях применение их оказывается не только предпочтительным по сравнению с контактными средствами измерения температуры, т.е. термометрами, но и единственно возможным. Это прежде всего касается измерения температуры объектов, контакт с которыми затруднен или невозможен вследствие его удаленности или недоступности [8-13].

**Основная часть.** Нами разработано оптоэлектронное устройство для дистанционного контроля температуры, которое может быть успешно использовано при исследовании температурных характеристик объекта контроля [14-17].

Блок-схема оптоэлектронного устройства для бесконтактного контроля температуры нагретых объектов приведена на рис.1.



**Рис.1. Блок-схема оптоэлектронного устройства для бесконтактного контроля температуры нагретых объектов.**

О блок-схема оптоэлектронного устройства для бесконтактного контроля температуры нагретых объектов работает следующим образом.

Задающий генератор, 15 вырабатывает последовательность прямоугольных импульсов с частотой повторения  $f$  который, поступают на вход делителя частоты 13 с коэффициентом деления  $n$ . Прямоугольные импульсы с частотой  $f_{дч} = f_{зг}/n$  с выхода делителя частоты поступает на вход излучающего диода 4 и управляющий вход коммутатора 9 (см. рис.2).

В процессе измерения температуры объекта контроля на вход приемника излучений 3 поступают импульсный поток излучения от излучающего диода 4,  $\Phi_C(t)$  который не зависит от температуры объекта контроля (см.рис.2б) и через оптической системы 2 непрерывный во времени и зависящий от температуры  $T_{об}$  объекта контроля 1 поток излучения  $\Phi_H(T)$ .

Таким образом в течение промежутков времени  $t_1 - t_3$  на чувствительную площадь приемника излучений воздействует суммарный поток излучения (см.рис.2в)  $\Phi(T, t) = \Phi_H(T) + \Phi_C(t)$ , а в промежутков времени  $t_3 - t_5$  – поток излучения от объекта контроля  $\Phi_H(T)$ .

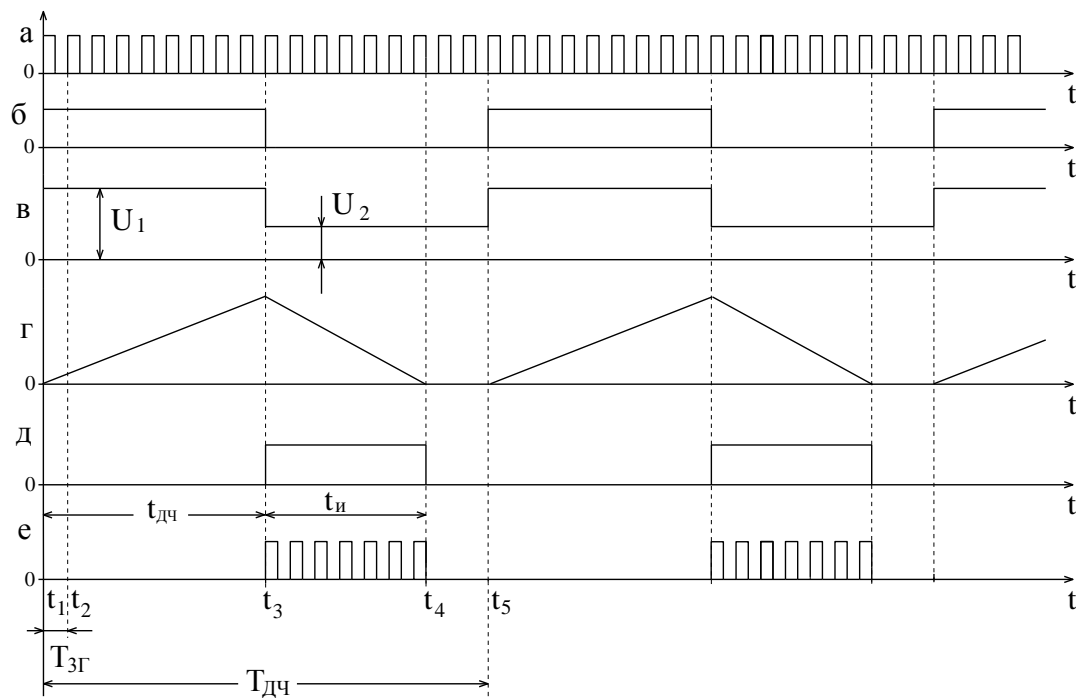
Приемник излучения 3, преобразует потоки излучения, поступающий на его вход, в электрический сигнал. При этом напряжение который соответствует на суммарный паток излучения (см. рис.2в)  $\Phi(T, t)$  определяется как:

$$U_1 = \Phi(T, t) S_1 R_H \quad (1)$$

А напряжение который соответствует на паток излучения (см. рис.2в)  $\Phi_H(T)$  определяется как:

$$U_2 = \Phi_H(T) S_1 R_H \quad (2)$$

где:  $S_1$  – токовая чувствительность приемника излучений;  $R_H$  – сопротивления нагрузки приемника излучений.



**Рис.2. Временные диаграммы поясняющие принцип действие оптоэлектронного устройства для бесконтактного контроля температуры нагретых объектов.**

Фотоэлектрический сигнал с выхода приемника излучений усиливается малошумящим усилителем 3 на выходе, которого формируется усиленный по амплитуде электрический сигнал [18-26].

При этом напряжение на выходе малошумящего усилителя в промежуток времени,  $t_1 - t_3$  который соответствует, суммарному потоку излучение определяется как:

$$U_{\text{сум}} = \Phi(T, t) S_1 R_H K_y \quad (3)$$

А напряжение на выходе малошумящего усилителя в промежуток времени,  $t_3 - t_5$  который соответствует, тепловому потоку излучение от объекта контроля определяется как:

$$U_{\text{тп}} = \Phi_H(T) S_1 R_H K_y \quad (4)$$

где:  $K_y$  – коэффициент усиления малошумящего усилителя.

Фотоэлектрический сигнал с выхода малошумящего усилителя 5 поступает на пиковые детекторы 6 и 7. Пиковый детектор 7 сглаживает впадины импульсов на выходе малошумящего усилителя т.е. на выходе пикового детектора 7 формируется постоянное напряжение, соответствующее потоку излучения от нагретого объекта контроля  $\Phi_H(T)$ . А пиковый детектор 6 сглаживает вершины импульсов на выходе малошумящего усилителя, т.е. на выходе пикового детектора 6 образуется постоянное напряжение, соответствующее пиковому значению суммарного потока излучения  $\Phi(T, t)$ .

Напряжения с пиковых детекторов 6 и 7 поступают на дифференциальный усилитель 8 с коэффициентом усиления  $K_D$ , на выходе которого формируется постоянный сигнал, определяемый потоком излучения излучающего диода 4.

$$U_8 = \Phi_C S_1 R_H K_y K_D \quad (5)$$

Отрицательный знак напряжения на выходе дифференциального усилителя 8 обусловлен тем, что большее по абсолютной величине напряжение с пикового детектора 6 поступает на инвертирующий вход дифференциального усилителя 8.

В течение промежутка времени  $t_1 - t_3$  коммутатор 9 с помощью управляющего сигнала от делителя частоты подключает пиковый детектор 7 к интегратору 10 с постоянной времени  $\tau$  на выходе, которого образуется линейно возрастающее напряжение (см. рис.2г).

Напряжение на выходе интегратора 10 в конце промежутка времени  $t_1 - t_3$  определяется с помощью выражения

$$U_{10}(t_3) = \left(\frac{1}{\tau}\right) \int_0^{t_3} U_6 dt = U_6 t_3 / \tau \quad (6)$$

В момент времени  $t_3$  происходит переключение коммутатора 8 и установка триггера 12 в единичное состояние с помощью сигнала от делителя частоты 13.

В течение промежутка времени  $t_3 - t_5$  коммутатор 8 подключает дифференциальный усилитель к интегратору 10, на выходе которого образуется линейно убывающее напряжение (см. рис.2г)

$$U_{10}(t) = U_6 t_3 / \tau - (1/\tau) \int_{t_3}^{t_5} U_8 dt = U_6 t_3 / \tau - (t_5 - t_3) U_8 / \tau \quad (7)$$

В момент равенства нулю напряжения на выходе интегратора 10 компаратор 11 переходит в нулевое состояние и переводит триггер 12 в нулевое состояние. Обозначив промежуток времени от начала второго такта до момента срабатывания компаратора 11, т. е. промежуток времени, в течение которого триггер 12 находится в единичном состоянии, через переменную  $t_H$ , выразим напряжение на выходе интегратора в момент срабатывания компаратора

$$U_6 t_{дч} - U_8 t_H = 0 \quad (8)$$

Откуда

$$t_H = t_{дч} U_6 / U_8 = t_{дч} \Phi_H(T) S_1 K_y R_H / (\Phi_C S_1 K_y R_H) = t_{дч} \Phi_H(T) / (\Phi_C K_D) \quad (9)$$

т.е. длительность импульса  $t_H$  на выходе триггера 12 (см. рис.2д) определяется температурой нагретого объекта контроля. Сформированный на выходе триггера 12 прямоугольный импульс подается на один из входов схемы совпадения 14 а на другой вход последнего поступает прямоугольные импульсы с частотой  $f$  с выхода задающего генератора 15 в результате, которого на выходе схемы совпадения формируется пачек прямоугольные импульсы. Количества прямоугольные импульсы в пачке определяется длительностью прямоугольного импульса на выходе триггера 12.

Прямоугольные импульсы с выхода схемы совпадения количества, которого пропорционально к длительности выходного прямоугольного импульса триггера 12 подаётся на счетный вход счетчика 16. Количество поступивших на счетный вход счетчика за время  $t_H$  определяется выражением

$$N = t_H f = n \Phi_H(T) / 2(\Phi_c K_d) \quad (10)$$

Из которого следует, что медленные в сравнении с частотой  $f/n$  изменения частоты тактовых импульсов и параметров интегратора 10 не оказывают существенного влияния на точность измерения температуры. Кроме того, во всем рабочем диапазоне измерения температуры момент срабатывания компаратора 11 не выходит за пределы промежутка времени  $t_5 - t_3$  поскольку усиленное усилителем 8 напряжения  $U_8$  по абсолютной величине больше напряжения  $U_6$ .

**Заключение.** В предложенном устройстве на точность измерения температуры не оказывают влияния нестабильности параметров приемника излучений 3 и маломощного усилителя фототока 5.

### Список литературы

1. Ergashev, S. F., Axmadaliyevich, K. A., & Yusupjonovna, M. U. (2021). Optoelectronic device for remote temperature control of sanitary units. *EPRA International Journal of Multidisciplinary Research*, 7(6), 211-215.
2. Мамасадииков, Ю. & Мамасадиикова, З. Ю. (2021). Оптоэлектронное устройство для контроля концентрации углеводородов в воздухе на полупроводниковых излучающих диодах. *Universum: технические науки*, (10-1 (91)), 87-91.
3. Mamasodikov, Y., & Qipchaqova, G. M. (2020). Optical and radiation techniques operational control of the cocoon and their evaluation. *Academicia: An International Multidisciplinary Research Journal*, 10(5), 1581-1590.
4. Боймирзаев, А. Р. (2019). Особенности свечения разряда в полупроводниковом газоразрядном преобразователе ИК-изображения. *Евразийский союз ученых*, (10-5), 19-20.
5. Mamasodikov, Y., & Mamasodikova, Z. Y. (2020). Optoelectronic device for remote control of hydrocarbon concentration in air. *Scientific-technical journal*, 3(6), 3-7.
6. Мамасадииков, Ю. (2021). Алихонов ЭЖ Оптоэлектронное устройство для контроля линейной плотности хлопковых лент с функциональной разветкой. *Universum: технические науки: электрон. Научн. журн*, 10, 91.
7. Rustamov, U. S., Alixonov, E. J., Erkaboyev, A. X., Isroilova, S. X., & Boymirzayev, A. R. (2021). Farg 'ona viloyati aholisini elektr energiyasi tanqisligini bartaraf etishda Mikro-GESlardan foydalanish. *Oriental renaissance: Innovative, educational, natural and social sciences*, 1(10), 603-610.
8. Мамасадииков, Ю. М. (2018). Оптоэлектронный двухволновый метод для дистанционного газового анализа. In *Современные технологии в нефтегазовом деле-2018* (pp. 158-160).
9. Мамасадииков, Ю., & Алихонов, Э. Ж. (2020). Фотоэлектрические методы для автоматического контроля линейной плотности хлопковые ленты. *НТЖ ФерПИ*, 80-85.
10. Тожибоев, А. К., & Боймирзаев, А. Р. (2020). Исследование использования энергосберегающих инверторов в комбинированных источниках энергии. *Экономика и социум*, (12), 230-235.

11. Мамасадииков, Ю., & Мамасадиикова, З. Ю. (2021). Разработка принципиальной схемы оптоэлектронного устройства для контроля концентрации углеводородов в воздухе. *Universum: технические науки*, (11-2 (92)), 42-45.
12. Yusupjon, M., & Jamoldinovich, A. E. Photoelectric methods for automatic linear density control cotton tapes. *International Journal For Innovative Engineering and Management Research*, 9(12), 82-87. DOI: 10.48047/IJEMR/V09/I12/15.
13. Boymirzaev, A. R. (2021). Optoelectronic two-wave gas analyzer. *Innovative Technological: Methodical Research Journal*, 2(12), 127-132.
14. Мамасадииков, Ю., & Мамасадиикова, З. Ю. (2020). Оптоэлектронное устройство для дистанционного контроля концентрации углеводородов в воздухе. *НТЖ ФерПИ*, 24(6), 231-236.
15. Ergashev, S. F., Kuldashov, O. K., & Mamasodikova, U. Y. (2007). Optoelectronic device for remote temperature monitoring of the components of solar engineering facilities. *Applied Solar Energy*, 43(2), 68.
16. Mamasadikov, Y. (2022). Principal schema of optoelectronic device for monitoring the concentration hydrocarbons in air with exponential scan. *Scientific-technical journal*, 5(1), 21-24.
17. Jamoldinovich, A. E. (2020). The importance of metrology and standardization today Alikhonov Elmurod. *International scientific and technical journal "Innovation technical and technology"*, 1(4), 1-3.
18. Mamasadikov, Y., & Mamasadikova, Z. Y. (2021). Cotton Moisture Control Device. *Central asian journal of theoretical & Applied sciences*, 2(12), 265-270.
19. Alikhonov, E. J. (2021). Determination of linear density of cotton ribbons by photoelectric method. *Science and Education*, 2(11), 461-467.
20. Mamasadikov, Y., & Mamasadikova, Z. Y. (2021). Optoelectronic Device for Control of Concentration of Gaseous Substances. *Central asian journal of theoretical & Applied sciences*, 2(12), 260-264.
21. Алихонов, Э. Ж. (2021). Определение линейной плотности хлопковые ленты фотоэлектрическим методом. *Universum: технические науки*, (11-2 (92)), 35-38.
22. Mamasodiqov, Y., & Turg'unov, B. A. (2018). Research of natural bases appearance of channels illegal leak information in fiber optical communication systems. *Scientific-technical journal*, 22(1), 73-78.
23. Obidov, J. G., & Alixonov, E. J. (2021). Organization of the education process based on a credit system, advantages and prospects. *Academicia: An International Multidisciplinary Research Journal*, 11(4), 1149-1155.
24. Yuldashev, K. T., Ergashev, Q. M., Ibrokhimov, J. M., & Madmarova, U. A. (2019). EJ Alikhanov The study of Stability Combustion of the Gas Discharge in Sub-micron Gas-filled Cell with Semiconductor Electrode. *International Journal of Advanced Research in Science, Engineering and Technology*, 6(11), 11907-11911.
25. Hakimov, D.V., Isroilova, S. X., Alikhanov, E.J., Zayliddinov, T.A., & Ergasheva, G.E. (2020). Product Quality Control at Engineering Enterprises. *International Journal of Advanced Research in Science, Engineering and Technology*, Vol. 7, Issue 2, February 2020, 12843-12848.



26. Йулдашев, Х. Т., Эргашев, К. М., Алихонов, Э. Ж., Иброхимов, Ж. М., & Рустамов, У. С. (2021). Исследование процессов токового усиления в системе полупроводник-газоразрядный промежуток. *Oriental renaissance: Innovative, educational, natural and social sciences*, 1(10), 114-123.
27. Кулдашов, О. Х., Кулдашов, Г. О., & Мамасодикова, З. Ю. (2019). Оптоэлектронный двухволновой метод дистанционного контроля влажности растительного волокна. *Вестник Московского государственного технического университета им. НЭ Баумана. Серия «Приборостроение»*, (4 (127)), 84-96.
28. Кулдашов, О. Х., Кулдашов, Г. О., & Мамасодикова, З. Ю. (2019). Инфракрасный датчик для дистанционного контроля влажности хлопка-сырца. *Оптический журнал*, 86(6), 77-80.
29. Kuldashov, O. K., Kuldashov, G. O., & Mamasodikova, Z. Y. (2019). Infrared sensor for remote monitoring of moisture content in raw cotton. *Journal of Optical Technology*, 86(6), 390-393.
30. Мамасодикова, Н. Ю. (2019). Разработка алгоритма аналитического контроля технологических параметров динамических объектов. *Известия Юго-Западного государственного университета. Серия: Управление, вычислительная техника, информатика. Медицинское приборостроение*, 9(4), 153-162.
31. Мамасодикова, Н. Ю., & Мирзаахмедова, Х. Б. (2020). Система аналитического контроля параметров технологических агрегатов нефтехимических производств. *Наука. Образование. Техника*, (1), 15-22.
32. Siddikov, I. X., Mamasodikova, N. Y., Khalilov, M. A., Amonov, A. K., & Sherboboyeva, G. B. (2020, November). Formalization of the task of monitoring the technological safety of industrial facilities in conditions of indistinctness of the initial information. In *Journal of Physics: Conference Series* (Vol. 1679, No. 3, p. 032022). IOP Publishing.
33. Мусаев, Э. С., Бутаев, Т. Б., & Мамасадыков, Ю. (1988). Устройство для удаления коконов-глухарей.
34. Мухитдинов, М., Мусаев, Э. С., Мамасадыков, Ю., Каримов, Ю. Б., Перекрестов, В. В., & Цой, Г. Н. (1983). Устройство для определения содержания одного вещества в другом.
35. Qipchaqova, G. M. (2021). Basic errors of optical moisture meters. *Academicia: An International Multidisciplinary Research Journal*, 11(3), 686-690.
36. Khurshidjon, Y., Abdumalikovna, A. Z., Muminovna, U. G., & Mirzasharifovna, Q. G. (2020). The study of photoelectric and photographic characteristics of semiconductor photographic system ionisation type. *Academicia: An International Multidisciplinary Research Journal*, 10(5), 72-82.
37. Ergashov, K. M., & Madmarova, U. A. (2020). Research of metrological characteristics optoelectronic of devices for control of humidity of installations. *Academicia: An International Multidisciplinary Research Journal*, 10(11), 1337-1341.
38. Эргашов, К. М. (2021). Улучшение измерительных параметров двухволнового оптоэлектронного устройства. *Universum: технические науки*, (11-2 (92)), 49-52.
39. Mihoilovich, E. K., & Xabibulloogli, E. A. (2021). Selection of methods of acceptance inspection in production. *Academicia: An International Multidisciplinary Research Journal*, 11(10), 1350-1355.

40. Erkaboyev, A. X. O. G. L., & Isroilova, N. F. Q. (2022). Oziq-ovqat mahsulotlarini ishlab chiqarishda iste'molchilar xavfsizligini ta'minlash. *Oriental renaissance: Innovative, educational, natural and social sciences*, 2(3), 1066-1072.
41. Xabibulloogli, E. A., & Abdukarimovna, M. U. (2021). Assesment of metrological reliability of measurements using the method of producing functions. *Academicia: An International Multidisciplinary Research Journal*, 11(8), 520-528.
42. Эргашев, С. Ф., Рустамов, У. С., Абдурахмонов, С. М., & Кулдашов, О. Х. (2020). Автоматизированная система управления водными ресурсами на основе элементов компьютерной автоматики.
43. Isroilova, S. X. (2021). Proper organization of the quality management system is the basis of competitiveness. *Innovative Technologica: Methodical Research Journal*, 2(12), 89-99.
44. Abdumalikova, Z. I. (2021). Manifestation of Sources of Uncertainty in Measurements. *Central asian journal of theoretical & Applied sciences*, 2(12), 301-305.
45. Rustamov, U. S., Isroilova, S. X., & Abdumalikova, Z. I. (2022). Mikro-GES va fotoelektrik quyosh elektr stansiyasiga asoslangan kombinirlashgan (aralash) avtonom energiya manbalarining kompyuter modeli. *Oriental renaissance: Innovative, educational, natural and social sciences*, 2(3), 710-719.
46. Abdumalikova, Z. I. (2021). Metrological provision in the production and its branches. *Asian Journal of Multidimensional Research*, 10(10), 1492-1496.
47. Ibrokhimov, J. M. (2020). Application of the solar combined systems consisting of the field of flat and parabolocylindrical collecting channels for hot water supply of the industrial factories. *Academicia: An international multidisciplinary research journal*, 10(12), 1293-1296.
48. Maxammadovich, I. J. (2022). Use of solar modules for energy supply residential buildings. *Gospodarka i Innowacje*. 23, 479-482.
49. Yuldashev, K. T., Akhmedov, S. S., & Ibrohimov, J. M. (2020). Damping cell from gallium arsenide with plasma contacts in an extreme gas discharge cell. *Journal of Tashkent Institute of Railway Engineers*, 16(1), 36-41.
50. Yuldashev, K. T., & Akhmedov, S. S. (2021). Physical properties at the contact semiconductor-Gas discharge plasma in a thin gas discharge cell. *Asian Journal of Multidimensional Research*, 10(9), 569-573.